

بکارگیری تئوری‌های تغییر شکل و نموی پلاستیسیته در تحلیل کمانش دینامیکی ورق مستطیلی الاستوپلاستیک

حبيب رمضان نژاد آزار بني^۱، منصور درويزه^{۲*}، ابوالفضل درويزه^۲، رضا انصاری^۳

۱- دانشجوی دکترا، مهندسی مکانیک، دانشگاه گیلان، رشت

۲- استاد، مهندسی مکانیک، دانشگاه گیلان، رشت

۳- دانشیار، مهندسی مکانیک، دانشگاه گیلان، رشت

*رشت، صندوق پستی ۴۱۶۳۵-۳۷۵۶ darvizeh@guilan.ac.ir

چکیده

امروزه در دسترس بودن، دوام، قابلیت اطمینان، وزن و قدرت تحمل بار، به عنوان مهم‌ترین عوامل در طراحی و مهندسی بهینه مسائل تحلیل ورق‌ها که در صنعت کاربرد گسترده‌ای دارند، محسوب می‌شوند. کمانش در محدوده الاستیک یا الاستوپلاستیک یکی از پدیده‌هایی است که ممکن است در بارگذاری محوری ورق مشاهده شود. در این مقاله تحلیل کمانش دینامیکی الاستوپلاستیک ورق مستطیلی نازک با شرایط مرزی مختلف تحت بار محوری نمایی با استفاده از روش گالرکین و به کارگیری توابع شکل ملتاتوی مورد تحلیل قرار گرفته است. به منظور استخراج روابط حاکم بر رفتار دینامیکی ورق از دو تئوری پلاستیسیته شامل تئوری تغییر شکل پلاستیسیته براساس معادلات ساختاری هنکی و تئوری نموی پلاستیسیته براساس معادلات ساختاری پرانتل-روس استفاده شده است. همچنین روابط تنش-کرنش رامبرگ-اسگود برای مدل کردن رفتار مادی پلاستیسیته ورق به کار گرفته شده است. تأثیر شرایط مرزی متقاضی، پارامترهای هندسی ورق، دامنه بار دینامیکی اعمالی و دو نوع تئوری مختلف پلاستیسیته بر پاسخ دینامیکی ورق شامل تاریخچه زمانی سرعت و جابجایی آن مورد تحلیل قرار گرفته است. براساس نتایج بدست آمده تئوری تغییر شکل پلاستیسیته تخمین پایین‌تری را نسبت به تئوری نموی ارائه می‌دهد. همچنین مقاومت در مقابل تغییر شکل ورق در تکیه‌گاه گیردار نسبت به تکیه‌گاه ساده بیشتر بوده به همین نقاط نزدیک به این نوع تکیه‌گاه دارای میدان سرعت و جابجایی کمتری نسبت به نقاط نزدیک تکیه‌گاه ساده می‌باشد.

اطلاعات مقاله

مقاله پژوهشی کامل

دریافت: ۱۳ دی ۱۳۹۳

پذیرش: ۰۸ اسفند ۱۳۹۳

ارائه در سایت: ۱۸ اسفند ۱۳۹۳

کلید واژگان:

کمانش الاستوپلاستیک دینامیکی

بار دینامیکی نمایی

تئوری تغییر شکل پلاستیسیته

تئوری نموی پلاستیسیته

Application of deformation and incremental theory of plasticity in the dynamic buckling of rectangular elastoplastic plate

Habib RamezannezhadAzarponi, Mansoor Darvizeh*, Aboolfazl Darvizeh, Reza Ansari

Department of Mechanical Engineering, Guilan University, Rasht, Iran

*P.O.B.41635 3756 Rasht, Iran, darvizeh@guilan.ac.ir

ARTICLE INFORMATION

Original Research Paper
Received 03 January 2015
Accepted 27 February 2015
Available Online 09 March 2015

Keywords:
Elastoplastic Dynamic Buckling
Exponential Dynamic loading
Deformation Theory of Plasticity
Incremental Theory of Plasticity

ABSTRACT

Nowadays, availability, durability, reliability, weight and strength, as the most important factors in optimum engineering design, are responsible for the widespread application of plates in the industry. Buckling in the elastic or elastoplastic regime is one of the phenomena that can occur in the axial compressive loading. Using Galerkin method on the basis of trigonometric shape functions, the elastoplastic dynamic buckling of a thin rectangular plate with different boundary conditions subjected to compression exponential pulse functions is investigated in this paper. Based on two theories of plasticity: deformation theory of plasticity (DT) with Hencky constitutive relations and incremental theory of plasticity (IT) with Prandtl-Reuss constitutive relations the equilibrium, stability and dynamic elastoplastic buckling equations are derived. Ramberg-Osgood stress-strain model is used to describe the elastoplastic material property of plate. The effects of symmetrical and asymmetrical boundary conditions, geometrical parameters of plate, force pulse amplitude, and type of plasticity theory on the velocity and deflection histories of plate are investigated. According to the dynamic response of plate the results obtained from DT are lower than those predicted through IT. The resistance against deformation for plate with clamped boundary condition is more than plate with simply supported boundary condition. Consequently, the adjacent points to clamped boundary condition have a lower velocity field than adjacent points to simply supported boundary condition.

مانند صنعت هواپیمایی، کشتی‌سازی، خودرو و صنایع دیگر مورد استفاده قرار

می‌گیرند. در دسترس بودن، دوام، قابلیت اطمینان، وزن و قدرت تحمل بار،

-۱ مقدمه

Please cite this article using:

H. RamezannezhadAzarponi, M. Darvizeh, A. Darvizeh, R. Ansari, Application of deformation and incremental theory of plasticity in the dynamic buckling of rectangular elastoplastic plate, *Modares Mechanical Engineering*, Vol. 15, No. 5, pp. 25-33, 2015 (In Persian)

برای ارجاع به این مقاله از عبارت ذیل استفاده نمایید:

[DOR: 20.1001.1.10275940.1394.15.5.29.3]

در نظر گرفت. با این نگرش نسبت به مدل کردن رفتار ورق‌های دایروی و مستطیلی، توزیع کرنش محیطی نیز اعمال شد. این پیش‌بینی‌ها حاکی از به وجود آمدن کرنش‌های بزرگ در قسمت مرکزی و کرنش‌های کوچک در دیگر نواحی است که مطابقت کاملی با داده‌های آزمایشگاهی دارد [5].

پاسخ پلاستیک ورق‌های دایروی از جنس فولاد نرم، مس و الومینیم تحت بارگذاری ضربه‌ای در سال 2010 توسط درویزه و همکاران مورد بررسی قرار گرفت [6]. دو مدل ارائه شده در این تحقیق شامل مدل استاتیکی و دینامیکی بوده که در مدل استاتیکی متغیر نرخ کرنش متوسط به عنوان یک پارامتر در نظر گرفته نشده درحالی که در مدل دینامیکی این متغیر در نظر گرفته می‌شود. با به کارگیری روش تحلیلی در کنار داده‌های آزمایشگاهی منجر به استخراج مدل بی‌بعدی برای تغییرشکل نقطه‌ی میانی ورق شده است. به منظور استخراج فرمولی بی‌بعد برای تغییرشکل ورق دایروی از مفهوم تحلیل ابعادی و روش تجزیه مقادیر تکین استفاده شده است [7]. تحلیل غیرخطی گذرا [8]، تحلیل عددی تغییرشکل پوسته‌های استوانه‌ای [9] و بررسی تغییرشکل و پارگی ورق‌های مستطیلی [10] از جمله تحقیقاتی است که توسط وندان و همکاران به عنوان تحلیل سازه‌ها در زیر آب صورت گرفته است. در این بررسی‌ها سازه‌هایی مانند ورق مستطیلی و پوسته‌های استوانه‌ای تحت بار انفجاری در زیر آب مورد مطالعه قرار گرفته است. مودهای شکست مختلف تحت شرایط آزمایش متفاوت شناسایی شده و با نتایج المان محدود صحبت‌ستجی شده است. در این تحقیقات از اثرات انعکاس موج انفجار صرف‌نظر شده و روابط ارائه شده تجربی می‌باشند.

تحلیل کمانش ورق مستطیلی تحت بارگذاری محوری با شرایط مرزی مختلف با به کارگیری دو تئوری پلاستیسیته توسط دوربان و زوکرمن انجام شده است [11]. محققان زیادی تأثیر ضرایب رامبرگ-اسگوک، پارامترهای هندسی و شرایط مرزی را بر بار بحرانی کمانش ورق‌های مستطیلی و دایروی با به کارگیری دو تئوری تغییرشکل و تئوری نموی پلاستیسیته مورد تحلیل قرار داده‌اند. برای حل معادلات حاکم از روش‌های مختلفی مانند روش المان محدود [12]، روش پی‌ریتز [13] و روش یک‌چهارم تفاضلی تعیین‌یافته [14] استفاده شده است. کد خدایان و معارف دوست نیز با استفاده از روش یک‌چهارم تفاضلی تعیین‌یافته و با به کارگیری هردو تئوری پلاستیسیته به استخراج بار بحرانی کمانش برای شرایط مرزی مختلف پرداخته‌اند [15]. همچنین تأثیر نسبت ابعادی، ضریب بار و شرایط مرزی مختلف بر بار بحرانی کمانش [16] و شکل مودهای کمانشی در این تحقیقات مورد مطالعه قرار گرفته است [17].

تحقیقات انجام شده در مراجع [12-17] در زمینه تحلیل کمانش الاستوپلاستیک ورق به منظور استخراج ضریب کمانش بحرانی تحت شرایط مرزی مختلف بوده است. استفاده از دو تئوری تغییرشکل و تئوری نموی پلاستیسیته با به کارگیری مدل رامبرگ-اسگوک از وجود مشترک این تحقیقات است. همچنین حل معادلات حاکم بر ورق برای استخراج ضریب کمانش بحرانی از روش‌های مختلفی مانند روش المان محدود، روش پی‌ریتز و روش یک‌چهارم تفاضلی تعیین‌یافته صورت گرفته است. ورق‌ها به عنوان سازه‌های مهندسی در شرایط عملکردی ممکن است تحت بارگذاری‌های مختلف دینامیکی شامل بارگذاری محوری، عرضی، پیچشی و یا ترکیبی از آن‌ها قرار گیرند. در بارگذاری دینامیکی محوری هرگاه دامنه بار اعمالی از حد بار کمانش بحرانی تجاوز کند و یا ورق دارای تغییرشکل اولیه باشد، کمانش در ورق رخ می‌دهد و تحلیل رفتار دینامیکی بعداز کمانش آن از اهمیت

به عنوان مهم‌ترین عوامل در طراحی و مهندسی بهینه مسائل تحلیل ورق‌ها در صنعت می‌باشند. بیشتر سازه‌های ورق قابلیت تحمل بارگذاری‌های متفاوت مانند بارگذاری کششی، فشاری، پیچشی، خمشی و یا ترکیبی از بارگذاری‌ها را دارند. کمانش در محدوده‌ی الاستیک یا الاستیک پیکی از پدیده‌هایی است که ممکن است در بارگذاری فشاری مشاهده شود. با توجه به مقدار بارگذاری اعمال شده به ورق مسطح و شرایط اولیه تعادل آن ممکن است ورق در وضعیت پایدار یا ناپایدار قرار گیرد. پیکربندی اولیه یک ورق در حالت الاستیک زمانی پایدار است که هرگاه توسط یک نیروی عرضی از حالت تعادل خود خارج شود ورق بعد از باربرداری تمایل به بازگشت به حالت اولیه را داشته باشد؛ و هرگاه بعد از باربرداری تمایل به ماندن در حالت تغییر مکان یافته‌ی خود را داشته باشد در این وضعیت ورق ناپایدار است.

در وضعیت ناپایدار ورق مکان پایدار جدیدی پیداکرده است که این مکان ممکن است نزدیک مکان پایدار اولیه و یا به دوراز آن باشد. هرگاه ورق بعد از حذف بار در موقعیت جدید خود باقی بماند گفته می‌شود که ورق در حالت پایدار خنثی قرار دارد. بنابراین در حالت پایدار خنثی ورق نه پایدار است و نه ناپایدار. گذار ورق از حالت پایدار به حالت ناپایدار به کمانش یا ناپایداری الاستیک ارجاع داده می‌شود. بنابراین کوچک‌ترین باری که منجر به بروز پدیده کمانش شود را بار بحرانی کمانش می‌گویند. اهمیت مقدار بار بحرانی زمانی مشخص می‌شود که هرگاه بار اعمالی از این حد تجاوز کند که به سرعت باعث تغییرشکل عرضی و افزایش تنش‌های خمشی شده و درنهایت منجر به شکست و تخرب سازه خواهد شد. بنابراین می‌توان گفت، برای اینکه ورق از حالت تعادل پایدار گذر کرده و به حالت تعادل ناپایدار برسد باید از وضعیت خنثی که مرز بین حالت پایدار و ناپایدار است عبور کند. براساس بیان ریاضیاتی وضعیت خنثی به حالت دوشاخه‌ای شدن تغییرشکل ارجاع داده می‌شود. بنابراین بار بحرانی با مقدار بار در حالت دوشاخه‌ای شدن وضعیت تعادل شناخته می‌شود.

در زمینه‌ی مدل کردن رفتار ورق در برابر بار ضربه‌ای دانشمندان زیادی مطالعات تجربی و عددی انجام داده‌اند. در سال 1970 ویزبایکی و فلورنس ممان‌های خمشی و نیروهای غشایی را به طور همزمان در معادلات حرکت ورق‌های دایروی در نظر گرفتند [1]. با توجه به انتخاب مدل ویسکوپلاستیک خطی، حساسیت به نرخ کرنش در محدوده‌ای از ایمپالس‌های اعمالی تأثیر داده شد. مدل ارائه شده سازگاری بسیار خوبی با نتایج تجربی حاصل از شکل-دهی انفجاری ورق‌های دایروی با شرایط مرزی گیردار دارد. در سال 1971، دوبی و همکاران رفتار ورق‌های دایره‌ای را در محدوده‌ای که اثرات نیروهای غشایی و ممان‌های خمشی، هر دو حائز اهمیت هستند، مورد مطالعه قرار دادند. در این بررسی از اثر نرخ کرنش صرف‌نظر شد ولی حرکت افقی ورق در تحلیل وارد شد [2]. در سال 1974، لیمین رفتار ورق را در جریان شکل‌دهی انفجاری شبیه غشا فرض نمود و لذا از اثرات خمش صرف‌نظر کرده و تنها نیروهای غشایی را در معادلات حرکت لحاظ کرد و نیز تغییر ضخامت ورق را در نظر گرفت. نتیجه‌ی تحلیل، منجر به ثابت بودن ضخامت در مرکز ورق شد که کاملاً برخلاف نتایج تجربی بود [3].

در سال 1984، برون و بهادران تغییرشکل غشاهای دایره‌ای ویسکوپلاستیک را تحت بارگذاری ایمپالسی مورد تحلیل قراردادند و با ارائه یک روش ساده تأثیر حساسیت به نرخ کرنش را که یک پارامتر مهم در تغییرشکل‌های بزرگ است، مطالعه نمودند [4]. نویک در مدل ارائه شده برای ورق‌های دایروی و مستطیلی جابجایی‌های قائم و جابجایی‌های افقی را باهم

که w در روابط (1) تا (3) به ترتیب سرعت سطح میانی ورق در راستاهای x , y و z باشند. روابط (4) تا (6) به صورت زیر نیز بین میدان سرعت و نرخ کرنش برقرار است.

$$\dot{\varepsilon}_{xx} = \frac{\partial u}{\partial x} - z \frac{\partial^2 w}{\partial x^2} \quad (4)$$

$$\dot{\varepsilon}_{yy} = \frac{\partial v}{\partial y} - z \frac{\partial^2 w}{\partial y^2} \quad (5)$$

$$\dot{\varepsilon}_{zz} = \frac{1}{2} \left(\frac{\partial u}{\partial y} + \frac{\partial v}{\partial x} \right) - 2z \frac{\partial^2 w}{\partial x \partial y} \quad (6)$$

به منظور استخراج روابط نرخ تنش-نرخ کرنش در ادامه از دو تئوری تغییرشکل پلاستیسیته و تئوری نموی پلاستیسیته که روابط ساختاری را ارائه می‌دهند استفاده می‌شود.

2-1- تئوری تغییرشکل پلاستیسیته براساس معادلات هنکی

معادله کرنش پلاستیک هنکی را می‌توان به صورت رابطه (7) نوشت.

$$\dot{\varepsilon}_{ij}^p = \frac{3\bar{\varepsilon}^p}{2\bar{\sigma}} S_{ij} \quad (7)$$

که $\bar{\sigma}$, $\bar{\varepsilon}^p$ و S_{ij} در رابطه (7) به ترتیب تنش مؤثر، کرنش پلاستیک مؤثر و تنش انحرافی می‌باشند. معادلات نرخ کرنش پلاستیک هنکی در فرمت نموی، رابطه (8)، با اعمال عملیات مشتق نسبت به زمان بر معادله (7) استخراج می‌شود.

$$d\dot{\varepsilon}_{ij}^p = \frac{3d\bar{\sigma}}{2\bar{\sigma}} \left(\frac{d\bar{\varepsilon}^p}{d\bar{\sigma}} - \frac{\bar{\varepsilon}^p}{\bar{\sigma}} \right) S_{ij} + \frac{3\bar{\varepsilon}^p}{2\bar{\sigma}} dS_{ij} \quad (8)$$

در رابطه (8) dS_{ij} بیان کننده نمو زمانی تانسور تنش انحرافی است. براساس قانون هوک نیز روابط تنش-کرنش به صورت معادله (9) در فرمت تانسوری قابل استخراج است.

$$\dot{\varepsilon}_{ij}^e = \frac{1+\nu}{E} S_{ij} + \frac{1-2\nu}{3E} \delta_{ij} \sigma_{kk} \quad (9)$$

در معادله (9)، ν ضریب پواسون، E مدول یانگ و δ_{ij} دلتای کرونیکر می‌باشد. همچنین فرمت نموی معادله (9) نیز به صورت رابطه (10) بیان می‌شود.

$$d\dot{\varepsilon}_{ij}^e = \frac{1+\nu}{E} dS_{ij} + \frac{1-2\nu}{3E} \delta_{ij} d\sigma_{kk} \quad (10)$$

رابطه کامل تنش-کرنش در محدوده الاستوپلاستیک با ترکیب معادلات (8) و (10) در رابطه (11) آورده شده است.

$$E\dot{\varepsilon}_{ij} = \left(\frac{3E}{2E_s} - \frac{1-2\nu}{2} \right) \dot{S}_{ij} + \left(\frac{1-2\nu}{3} \right) \dot{\sigma}_{kk} \delta_{ij} + \frac{3\dot{\sigma}}{2\bar{\sigma}} \left(\frac{E}{E_t} - \frac{E}{E_s} \right) S_{ij} \quad (11)$$

در معادله (11) $E_s = \frac{\bar{\sigma}}{\bar{\varepsilon}}$ و $E_t = \frac{d\bar{\sigma}}{d\bar{\varepsilon}}$ به ترتیب مدول مماسی و مدول سکانتی و $\bar{\varepsilon}$ کرنش کل مؤثر می‌باشند. بر طبق معیار تسلیم ون میز هرگاه بر یک ورق مستطیلی به طول a , عرض b و ضخامت یکنواخت h تنش فشاری محوری یکنواخت اعمال شود، تنش مؤثر به صورت رابطه (12) بیان می‌شود.

$$\bar{\sigma} = \sqrt{\sigma_x^2 - \sigma_x \sigma_y + \sigma_y^2 + 3\sigma_{xy}^2} \quad (12)$$

با اعمال مشتقگیری مستقیم بر معادله (12) و قرار دادن تنش اصلی رابطه (13) استخراج می‌شود.

$$\dot{\bar{\sigma}} = - \frac{(2\sigma_1 - \sigma_2)\dot{\sigma}_x + (2\sigma_2 - \sigma_1)\dot{\sigma}_y}{2\bar{\sigma}^2} \quad (13)$$

با قرار دادن معادله (13) در معادله (11) و بسط آن در مختصات کارتزین برای یک ماده ایزوتروپیک، رابطه نرخ کرنش بر حسب نرخ تنش به فرم رابطه (14) به دست می‌آید.

بالایی برخوردار می‌شود. تحقیقات صورت گرفته در این مقالات محدود به محاسبه ضریب کمانش بحرانی بوده و در مورد رفتار ورق الاستوپلاستیک بعداز کمانش تحت بارگذاری دینامیکی با استفاده از دو تئوری تغییرشکل و تئوری نموی پلاستیسیته با بکارگیری مدل رامبرگ-اسگود مطالعاتی صورت نگرفته است.

در این مقاله با استفاده از دو تئوری پلاستیسیته شامل تئوری تغییرشکل پلاستیسیته براساس معادلات ساختاری هنکی و تئوری نموی پلاستیسیته براساس معادلات ساختاری پرانتل-روس روابط نرخ کرنش-تنش استخراج شده است. در ادامه با به کارگیری روابط تنش-کرنش رامبرگ-اسگود برای مدل کردن رفتار مادی پلاستیسیته، رفتار دینامیکی بعداز کمانش ورق مستطیلی الاستوپلاستیک با شرایط مرزی مختلف تحت بار دینامیکی لحظه-ای نمایی مورد تحلیل قرار گرفته است. به منظور حل معادلات دیفرانسیل جزئی حاکم بر رفتار ورق از روش گالرکین به همراه تابع شکل مثلثاتی استفاده شده است. تأثیر تقارن و عدم تقارن در شرایط مرزی مختلف شامل شش ترکیب از تکیه‌گاه گیردار و ساده، تغییرات نسبت طول به عرض ورق، مقدار دامنه بار دینامیکی نمایی، نسبت بار دینامیکی در دو راستا و تفاوت در بکارگیری دو تئوری مختلف پلاستیسیته شامل تئوری تغییرشکل و تئوری نموی بر پاسخ دینامیکی ورق مورد تحلیل قرار گرفته است. پاسخ دینامیکی مورد تحلیل شامل تاریچه زمانی جابجایی و سرعت و همچنین میزان بیشینه جابجایی و سرعت برای نقاط خط میانی ورق می‌باشد.

نتایج بدست آمده نشان می‌دهد که تئوری تغییرشکل پلاستیسیته تخمین پایین تری را نسبت به تئوری نموی ارائه می‌دهد. همچنین نقاط نزدیک به تکیه‌گاه گیردار مقاومت بیشتری را برابر تغییرشکل ورق نسبت به تکیه‌گاه دارای میدان سرعت و جابجایی کمتری نسبت به نقاط نزدیک تکیه‌گاه ساده می‌باشد.

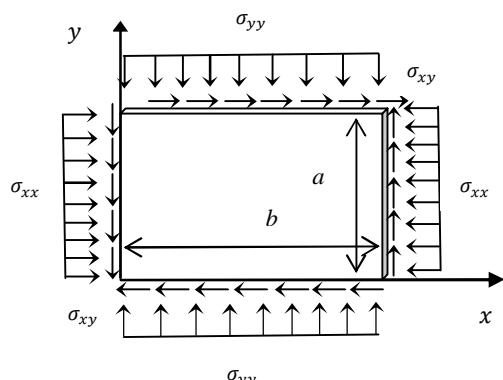
2- معادلات حاکم

ورق مستطیلی را مطابق شکل 1 تحت بارگذاری محوری در نظر بگیرید. با در نظر گرفتن تئوری میندلین روابط میدان سرعت به صورت روابط (1) تا (3) قابل بیان است [12].

$$v_x = u - z \frac{\partial w}{\partial x} \quad (1)$$

$$v_y = v - z \frac{\partial w}{\partial y} \quad (2)$$

$$v_z = w \quad (3)$$



شکل 1 شماتیکی از ورق مستطیلی تحت بارگذاری محوری

$$\varepsilon = \frac{\bar{\sigma}}{E} + k \left(\frac{\bar{\sigma}}{E} \right)^c \quad (32)$$

استفاده شده است که به صورت رابطه (32) بيان می شود.

در رابطه (32) پارامترهاي مادي، تنش و كرنش معادل می باشند. همچنین مطابق رابطه (32) نسبت مدول يانگ به مدول مماسی و مدول سکانتی به صورت رابطه (33) تعریف می شود [12].

$$\frac{E}{E_t} = 1 + ck \left(\frac{\bar{\sigma}}{E} \right)^{c-1}$$

$$\frac{E}{E_s} = 1 + k \left(\frac{\bar{\sigma}}{E} \right)^{c-1} \quad (33)$$

3- استخراج معادله دiferansiel حاکم بر کمانش
تغییرات انرژی کرنشی و جنبشی یک ورق مستطيلي ايزوتropick به صورت روابط (34) و (35) قابل بيان است.

$$U_s = \frac{1}{2} \iint (\dot{\sigma}_{xx} \dot{\epsilon}_{xx} + \dot{\sigma}_{yy} \dot{\epsilon}_{yy} + \dot{\sigma}_{xy} \dot{\epsilon}_{xy}) dx dy dz \quad (34)$$

$$K_t = \frac{\rho h}{2} \iint \left(\frac{\partial w}{\partial t} \right)^2 dA \quad (35)$$

همچنین با در نظر گرفتن فشار يكتواخت خارجي صفحه اي اعمال شده به ورق انرژي پتانسيلي به صورت رابطه (36) نوشته می شود.

$$W = -\frac{1}{2} \iiint \dot{\sigma}_{xx} w_x^2 + \dot{\sigma}_{yy} w_y^2 + 2\dot{\sigma}_{xy} w_x w_y dx dy dz \quad (36)$$

با به کارگيري روش هاميلتون به صورت رابطه (37)

$$\delta \left(\int_{t_0}^{t_1} (K_t - U_s + W) dt \right) = 0 \quad (37)$$

معادله دiferansiel حاکم بر رفتار کمانش ديناميکي ورق مستطيلي به صورت معادله (38) استخراج می شود.

$$\alpha \frac{\partial^4 w}{\partial x^4} + 2\beta \frac{\partial^4 w}{\partial x^2 \partial y^2} + \gamma \frac{\partial^4 w}{\partial y^4} + \frac{12}{h^2 E} (\sigma_{xx} \frac{\partial^2 w}{\partial x^2} + \sigma_{yy} \frac{\partial^2 w}{\partial y^2}) + \rho h \frac{\partial w}{\partial t} = 0 \quad (38)$$

4- حل معادله دiferansiel حاکم بر کمانش ديناميکي ورق

به منظور حل معادله دiferansiel جزئي حاکم بر رفتار کمانش ديناميکي ورق الاستوپلاستيك استخراج شده در معادله (38) به روش گالرکين از توابع مجاز استفاده شده است. هر تابع دلخواه که تمامي شريطي مرزي هندسي را برآورده کرده و در بازه S باندازه R بار مشتق پذير باشد جزو توابع مجاز محسوب می شود. در حالت کلي می توان اين سري را به صورت رابطه (39) نوشت.

$$w(x, y, t) = \sum_{m=1}^M \sum_{n=1}^N W_{mn}(t) \Psi_m(x) \Phi_n(y) \quad (39)$$

با قرار دادن رابطه (39) در معادله (38) اين معادله به فرم رابطه (40) بازنويسي می شود.

$$\sum_{m=1}^M \sum_{n=1}^N \alpha W_{mn}(t) \frac{d^4 \Psi_m(x)}{dx^4} \Phi_n(y) + 2\beta W_{mn}(t) \times \frac{d^2 \Psi_m(x)}{dx^2} \frac{d^2 \Phi_n(y)}{dy^2} + \gamma W_{mn}(t) \Psi_m(x) \frac{d^4 \Phi_n(y)}{dy^4} + \frac{12}{h^2 E} (\sigma_{xx} W_{mn}(t) \frac{d^2 \Psi_m(x)}{dx^2} \Phi_n(y) + \sigma_{yy} W_{mn}(t) \times \Psi_m(x) \frac{d^2 \Phi_n(y)}{dy^2}) + \rho h \frac{dW_{mn}(t)}{dt} \Psi_m(x) \Phi_n(y) = 0 \quad (40)$$

$$E_t \dot{\epsilon}_x = \left[1 - \frac{3}{4} \left(1 - \frac{E_t}{E_s} \right) \frac{\sigma_1^2}{\bar{\sigma}^2} \right] \dot{\sigma}_x - \left[\vartheta - \frac{3}{4} \left(1 - \frac{E_t}{E_s} \right) \frac{\sigma_1 \sigma_2}{\bar{\sigma}^2} \right] \dot{\sigma}_y \quad (14)$$

$$E_t \dot{\epsilon}_y = \left[1 - \frac{3}{4} \left(1 - \frac{E_t}{E_s} \right) \frac{\sigma_1^2}{\bar{\sigma}^2} \right] \dot{\sigma}_y - \left[\vartheta - \frac{3}{4} \left(1 - \frac{E_t}{E_s} \right) \frac{\sigma_1 \sigma_2}{\bar{\sigma}^2} \right] \dot{\sigma}_x \quad (15)$$

در روابط (14) و (15) ϑ نسبت انقباض بوده و به صورت رابطه (16) تعریف می شود.

$$\vartheta = \frac{1}{2} - \frac{(1-2\nu)E_t}{2E} \quad (16)$$

با معکوس کردن روابط (14) و (15) می توان رابطه نرخ تنش برحسب نرخ كرنش را به صورت روابط (17) تا (19) به دست آورد. [17].

$$\dot{\sigma}_x = E[\alpha \dot{\epsilon}_{xx} + \beta \dot{\epsilon}_{yy}] \quad (17)$$

$$\dot{\sigma}_y = E[\beta \dot{\epsilon}_{xx} + \gamma \dot{\epsilon}_{yy}] \quad (18)$$

$$\dot{\sigma}_{xy} = 2G \dot{\epsilon}_{xy} \quad (19)$$

ضرائب موجود در معادلات ساختاري (17) تا (19) به صورت روابط (20) تا (24) قابل استخراج است.

$$\alpha = \frac{1}{\lambda} \left[4 - 3 \left(1 - \frac{E_t}{E_s} \right) \frac{\sigma_1^2}{\bar{\sigma}^2} \right] \quad (20)$$

$$\beta = \frac{1}{\lambda} \left[2 - 2(1-2\nu) \frac{E_t}{E} - 3 \left(1 - \frac{E_t}{E_s} \right) \frac{\sigma_1 \sigma_2}{\bar{\sigma}^2} \right] \quad (21)$$

$$\gamma = \frac{1}{\lambda} \left[4 - 3 \left(1 - \frac{E_t}{E_s} \right) \frac{\sigma_2^2}{\bar{\sigma}^2} \right] \quad (22)$$

$$\lambda = \frac{3E}{E_s} + (1-2\nu) \left[2 - (1-2\nu) \frac{E_t}{E} - 3 \left(1 - \frac{E_t}{E_s} \right) \frac{\sigma_1 \sigma_2}{\bar{\sigma}^2} \right] \quad (23)$$

$$\frac{E}{G} = 2 + 2\nu + 3 \left(\frac{E}{E_s} - 1 \right) \quad (24)$$

2-2- تئوري تغيير شكل پلاستيسينه براساس معادلات پرانتل - روس
معادله کرنش پلاستيك براساس روابط ساختاري پرانتل روس به صورت رابطه (25) نوشته می شود.

$$\dot{\epsilon}_{ij}^p = \frac{3\dot{\sigma}}{2\bar{\sigma}} \left(\frac{1}{E_t} - \frac{1}{E} \right) \quad (25)$$

و با استفاده از معادله (10)، فرم کلي رابطه نرخ کرنش برحسب نرخ تنش در فرمت تانسوری به صورت رابطه (26) به دست می آيد.

$$E \dot{\epsilon}_{ij} = (1+\nu) \dot{S}_{ij} + \left(\frac{1-2\nu}{3} \right) \dot{\sigma}_{kk} \delta_{ij} + \frac{3\dot{\sigma}}{2\bar{\sigma}} \left(\frac{E}{E_t} - 1 \right) S_{ij} \quad (26)$$

با پيروی از مسیر بيان شده در بخش قبلی پارامترهاي معادلات (17) تا (19) بر اساس تئوري نموی پلاستيسينه به صورت روابط (27) تا (31) به دست می آيد.

$$\alpha = \frac{1}{\lambda} \left[4 - 3 \left(1 - \frac{E_t}{E} \right) \frac{\sigma_1^2}{\bar{\sigma}^2} \right] \quad (27)$$

$$\beta = \frac{1}{\lambda} \left[2 - 2(1-2\nu) \frac{E_t}{E} - 3 \left(1 - \frac{E_t}{E} \right) \frac{\sigma_1 \sigma_2}{\bar{\sigma}^2} \right] \quad (28)$$

$$\gamma = \frac{1}{\lambda} \left[4 - 3 \left(1 - \frac{E_t}{E} \right) \frac{\sigma_2^2}{\bar{\sigma}^2} \right] \quad (29)$$

$$\lambda = (5-4\nu) + (1-2\nu)^2 \frac{E_t}{E} - 3(1-2\nu) \left(1 - \frac{E_t}{E} \right) \frac{\sigma_1 \sigma_2}{\bar{\sigma}^2} \quad (30)$$

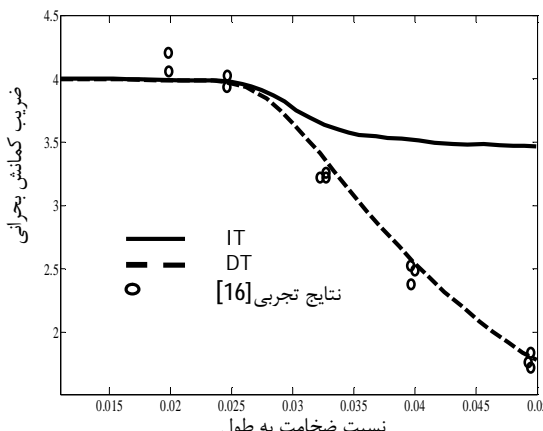
$$\frac{E}{G} = 2(1+\nu) \quad (31)$$

در اين مقاله از مدل رامبرگ - اسگود برای تعریف رفتار الاستوپلاستيك ورق

است. برای ایجاد بارگذاری ضربه‌ای مدت زمان بارگذاری دینامیکی به صورت $T_b = 0.1$ در نظر گرفته می‌شود که دوره تناوب ورق می‌باشد. برقراری یکی از دو شرط زیر باعث ایجاد کمانش در ورق شده که لزوم تحلیل رفتار بعداز کمانش را می‌طلبد. (الف) دامنه بار دینامیکی از حد بار کمانش بحرانی تجاوز کند. (ب) ورق دارای تغییرشکل اولیه باشد. در این مقاله از شرط اول برای ایجاد کمانش در ورق استفاده شده است. برای این منظور بار کمانش بحرانی با استفاده از روش گالرکین با بکارگیری توابع شکل مثلثاتی محاسبه شده و در ادامه مقدار دامنه بار دینامیکی از این حد بیشتر انتخاب شده است. برای این منظور با حذف ترم انرژی جنبشی از رابطه (41) معادله مقدار ویژه برای محاسبه بار کمانش بحرانی ورق مستطیلی حاصل می‌شود. با استخراج مقادیر ویژه برای شرایط مرزی مختلف بار کمانش بحرانی با استفاده از دو تئوری تغییرشکل و تئوری نموی محاسبه شده است. شکل 2 تغییرات ضربی کمانش بار را بر حسب نسبت ضخامت به طول برای ورق مربعی با شرط مرزی ساده تحت بار تکمحوره نشان می‌دهد. نتایج حاصل بکارگیری روش گالرکین در این مقاله برای محاسبه ضربی کمانش بحرانی با نتایج ارائه شده در مرجع [16] که از روش یکچهارم تضاضلی تعمیم یافته استفاده کرده، اعتبارسنجی شده است. بر طبق نتایج ارائه شده در این مرجع نتایج حاصل از تئوری تغییرشکل نسبت به تئوری نموی برای محاسبه ضربی کمانش بحرانی با نتایج آزمایشگاهی تطابق بیشتری دارد.

همچنین با توجه به شکل 1 مقادیر P , $\sigma_{xx} = \xi P$, $\sigma_{yy} = 0$, $\sigma_{xy} = 0$, $\rho = 2700 \text{ kg/m}^3$, $E = 72.4 \text{ GPa}$, $v = 0.32$, $a = 0.005 \text{ m}$ و $b = 0.5 \times 0.5 \text{ m}^2$ در نظر گرفته شده است. ξ نسبت دامنه بارگذاری در دو راستای x و y می‌باشد. $\xi = 0$ و $\xi = 1$ به ترتیب بیانگر بارگذاری تکمحوره در راستای x و دوممحوره برابر در دو راستای x و y است. شکل‌های 2 تا 5 پاسخ دینامیکی ورق ویسکوپلاستیک برای شرط مرزی گیردار کامل به ازای نسبت طول به عرض‌های مختلف را نشان می‌دهند. مقدار دامنه بارگذاری $P_x = 600 \text{ MPa}$ بوده و به صورت تکمحوره در راستای x به ورق اعمال می‌شود.

با توجه به شکل 3 که جابجایی مرکز ورق بر حسب زمان به ازای نسبت طول‌های مختلف را نشان می‌دهد، با کاهش مقدار این نسبت مقاومت ورق در برابر تغییرشکل بیشتر شده و نمودار جابجایی مرکز ورق سطح پایین‌تری را به ازای تمام زمان‌ها به خود اختصاص می‌دهد. شکل 4 نیز جابجایی پیشینه‌ی نقاط خط میانی ورق با مختصات عرضی صفر را به ازای تغییرات نسبت طول به عرض نشان می‌دهد.



شکل 2 تغییرات ضربی کمانش بحرانی بر حسب ضخامت به طول برای ورق مربعی تحت بار تکمحوره با شرط مرزی SSSS

با جایگزین کردن توابع مجاز بیان شده برای شرایط مرزی مختلف و استفاده از روش گالرکین با ضرب رابطه (40) در $(y)\Phi_s(x)\Psi_r$ و درنهایت با اعمال انتگرال گیری در محدوده سطح ورق می‌توان رابطه (41) را استخراج نمود.

$$\sum_{m=1}^M \sum_{n=1}^N \sum_{r=1}^M \sum_{s=1}^N \{ [\alpha \Gamma_{mnrs}^1 + 2\beta \Gamma_{mnrs}^2 + \gamma \Gamma_{mnrs}^3] \\ + \frac{12}{h^2 E} (\sigma_{xx} \Gamma_{mnrs}^4 + \sigma_{yy} \Gamma_{mnrs}^5)] W_{mn}(t) \\ + \rho h \Gamma_{mnrs}^6 \frac{dW_{mn}(t)}{dt} = 0 \quad (41)$$

در معادله (41) مقادیر انتگرالی به صورت روابط (42) تا (47) قابل بیان می‌باشند.

$$\Gamma_{mnrs}^1 = \int_0^a (\Psi_m^{xxxx} \Psi_r) dx \int_0^b (\Phi_n \Phi_s) dy \quad (42)$$

$$\Gamma_{mnrs}^2 = \int_0^a (\Psi_m^{xx} \Psi_r) dx \int_0^b (\Phi_n^{yy} \Phi_s) dy \quad (43)$$

$$\Gamma_{mnrs}^3 = \int_0^a (\Psi_m \Psi_r) dx \int_0^b (\Phi_n^{yyyy} \Phi_s) dy \quad (44)$$

$$\Gamma_{mnrs}^4 = \int_0^a (\Psi_m^{xx} \Psi_r) dx \int_0^b (\Phi_n \Phi_s) dy \quad (45)$$

$$\Gamma_{mnrs}^5 = \int_0^a (\Psi_m \Psi_r) dx \int_0^b (\Phi_n^{yy} \Phi_s) dy \quad (46)$$

$$\Gamma_{mnrs}^6 = \int_0^a (\Psi_m \Psi_r) dx \int_0^b (\Phi_n \Phi_s) dy \quad (47)$$

5- تحلیل نتایج

ورق مستطیلی مورد تحلیل در این مقاله از جنس آلومینیم به ابعاد $a = 0.005 \text{ m}$ و $b = 0.5 \times 0.5 \text{ m}^2$ است. همچنین پلارمترهای مکانیکی آن به صورت $E = 72.4 \text{ GPa}$, $v = 0.32$, $\rho = 2700 \text{ kg/m}^3$, $k = 3.94 \times 10^{21}$, $c = 10.9$ می‌باشد [12-17]. توابع مجاز برای برآوردن شرایط مرزی ساده-ساده، گیردار-ساده و گیردار-گیردار به ترتیب در معادلات (48) تا (50) به صورت توابع مثلثاتی به کار گرفته شده است.

$$w(x, t) = W_m \sin\left(\frac{m\pi x}{a}\right) \quad (48)$$

$$w(x, t) = W_m \sin\left(\frac{m\pi x}{2a}\right) \sin\left(\frac{m\pi x}{a}\right) \quad (49)$$

$$w(x, t) = W_m \sin\left(\frac{\pi x}{a}\right) \sin\left(\frac{m\pi x}{a}\right) \quad (50)$$

که از ترکیب توابع شکل (48) تا (50) می‌توان توابع مجاز را برای برآورده شدن شرایط مرزی در دو راستای x و y بدست آورد. به عنوان نمونه برای شرایط مرزی گیردار-ساده در راستای x و ساده-ساده در راستای y تابع

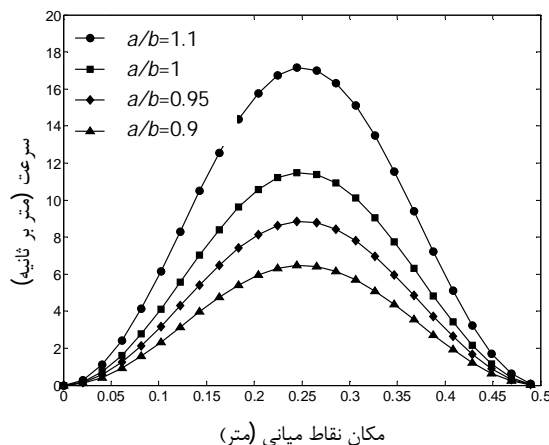
شکل به فرم معادله (51) قابل استخراج است.

$$w(x, y, t) = \sum_{m=1}^M \sum_{n=1}^N W_{mn} \sin\left(\frac{\pi x}{2a}\right) \sin\left(\frac{m\pi x}{a}\right) \sin\left(\frac{n\pi y}{b}\right) \quad (51)$$

در ادامه برای سهولت در نوشتار از علامت اختصاری S برای تکیه‌گاه ساده و از علامت اختصاری C برای تکیه‌گاه گیردار استفاده شده است. بنابراین منظور از علامت CSSS این است که ورق در راستای x به ترتیب در $x=0$ و $x=a$ و در راستای y به ترتیب در $y=0$ و $y=b$ دارای تکیه‌گاه ساده است. بارگذاری اعمالی بر ورق از نوع بارگذاری دینامیکی نمایی بوده که به صورت تابع ارائه شده در رابطه (52) بر آن وارد می‌شود.

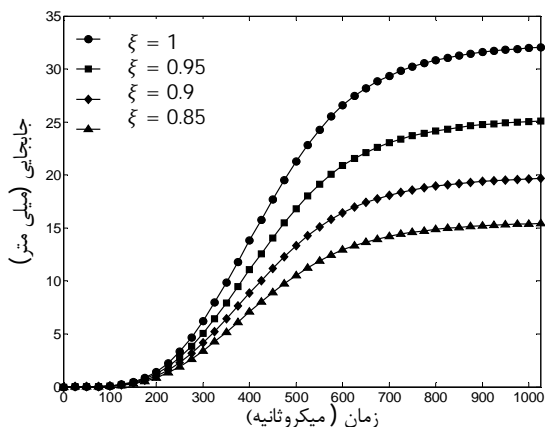
$$P = P_x e^{-\left(\frac{\pi t}{T}\right)} [1 - H(t - T)] \quad (52)$$

در رابطه (52)، T مدت زمان بارگذاری دینامیکی و H تابع پله‌ای هویساید

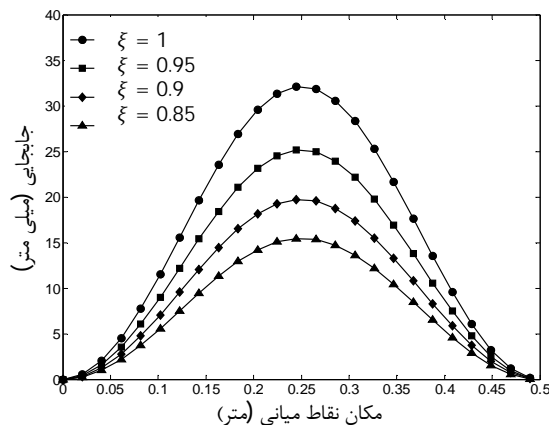


شکل 6 سرعت بیشینهی نقاط خط میانی مرکز ورق شرط مرزی کامل‌گیردار (CCCC) به ازای نسبت طول به عرض مختلف با نسبت بار صفر ($\xi = 0$)

شکل 7 تا 10 تأثير نسبت دامنه بارگذاري را بر جابجايی و سرعت ورق به ازای نسبت دامنه بارگذاري های مختلفه ازای $P_x = 350 \text{ MPa}$ نشان می‌دهد. با افزایش نسبت بارگذاري جابجايی و سرعت مرکز ورق به ازای تمامی زمان‌ها سطوح بالاتری داشته بطوری که برای نسبت دامنه بارگذاري $\xi = 1$, $\xi = 0.95$, $\xi = 0.9$, $\xi = 0.85$ جابجايی و سرعت به ترتیب پایین‌ترین و بالاترین مقادير را به ازای تمامی زمان‌ها محاسبه شده دارا می‌باشند.

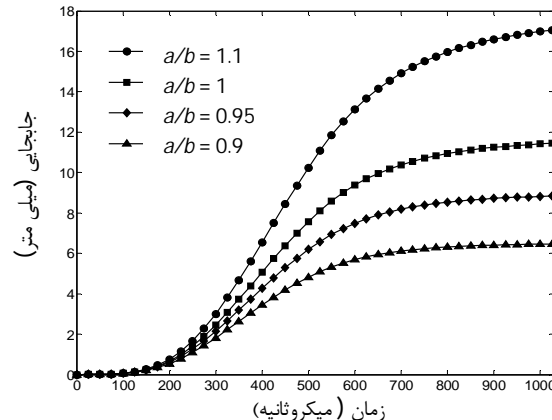


شکل 7 جابجايی مرکز ورق بر حسب زمان برای شرط مرزی کامل‌گیردار (CCCC) به ازای نسبت بارگذاري مختلف

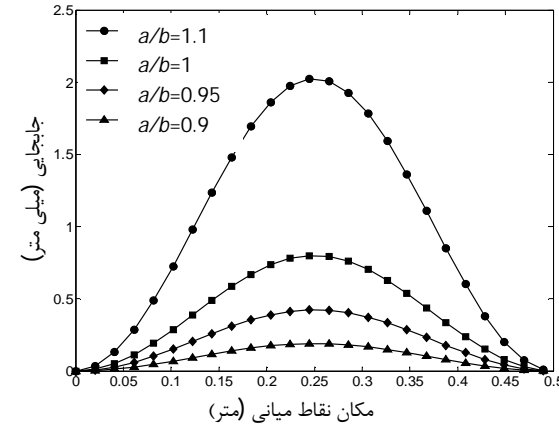


شکل 8 جابجايی بیشینهی خط میانی ورق برای شرط مرزی کامل‌گیردار (CCCC) به ازای نسبت بارگذاري مختلف

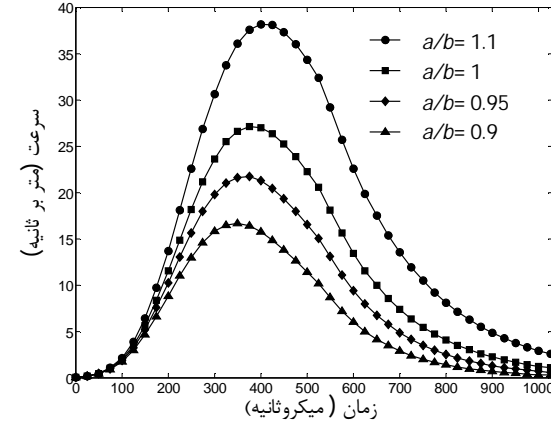
همانند روند بیان شده برای شکل 3 با کاهش مقدار نسبت طول به عرض کلیه نقاط قرارگرفته در مختصات $(x, b/2)$ جابجايی بیشینهی کمتری را دارا هستند. روند ارائه شده برای جابجايی در نمودارهای سرعت نشان داده شده در شکل های 5 و 6 نيز صادر است با اين تفاوت که بیشینه سرعت مرکز ورق در زمان انتهایي بارگذاري رخ نداده بلکه در زمان قبل از بازبرداري اتفاق می‌افتد. دوره‌ی بارگذاري برای ورق با شرط مرزی گيردار $T = 540 \mu\text{s}$ می‌باشد.



شکل 3 جابجايی مرکز ورق بر حسب زمان برای شرط مرزی کامل‌گیردار (CCCC) به ازای نسبت طول به عرض مختلف با نسبت بار صفر ($\xi = 0$)

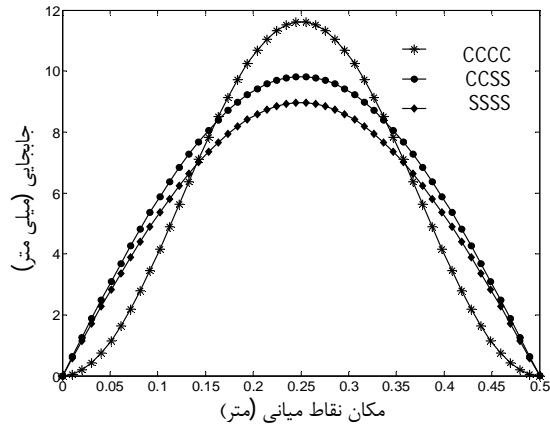


شکل 4 جابجايی بیشینهی نقاط خط میانی ورق برای شرط مرزی کامل‌گیردار (CCCC) به ازای نسبت طول به عرض مختلف با نسبت بار صفر ($\xi = 0$)

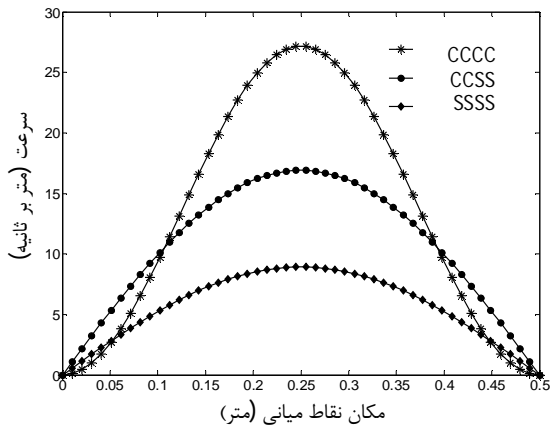


شکل 5 سرعت مرکز ورق بر حسب زمان برای شرط مرزی کامل‌گیردار (CCCC) به ازای نسبت طول به عرض مختلف با نسبت بار صفر ($\xi = 0$)

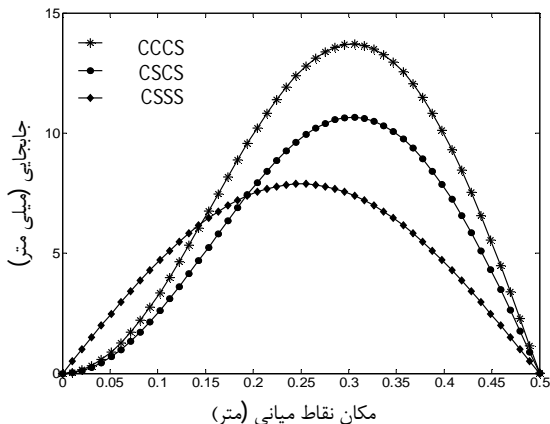
نامتقارن برای شرایط مرزی مختلف می توان نتيجه گرفت که در بارگذاري يكسان با توجه به بالاتر بودن مقاومت ورق در برابر تغيير شكل با شرط مرزی گيردار نسبت به شرط مرزی ساده، ورق با شرایط شرک با شرط مرزی CCCC و CCSS و SSSS به ترتيب بيشترین جابجايی و سرعت را خواهد داشت. همچنان برای شرایط مرزی نامتقارن در بارگذاري يكسان CCCC و CSCS به ترتيب بيشترین جابجايی و سرعت را دارا می باشد. همچنان تعداد شرط مرزی ساده یا گيردار در چهار لبه ورق مستطيلي تعیین کنندهٔ نحوهٔ پاسخ ديناميکي ورق در شرایط يكسان نسبت به حالت های مختلف است.



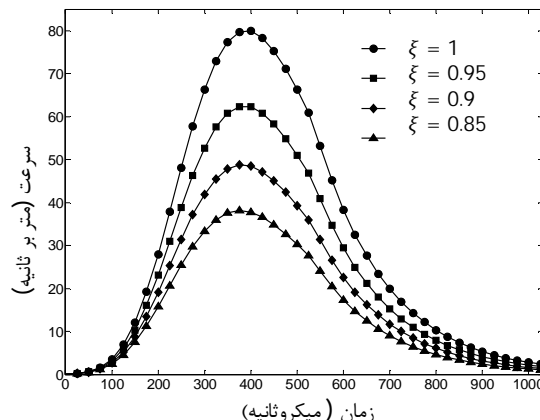
شکل 11 جابجايی بيشينهٔ مرکز ورق برای شرایط مرزی متقارن



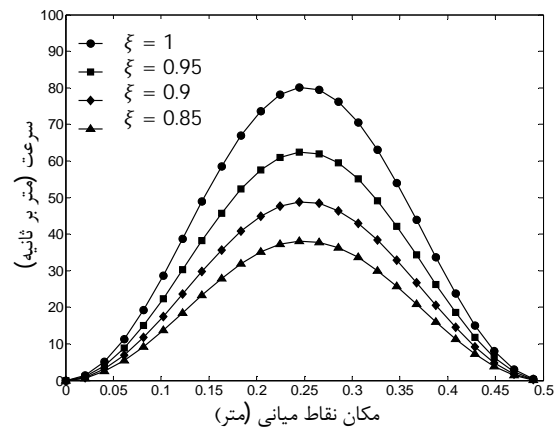
شکل 12 سرعت بيشينهٔ مرکز ورق برای شرایط مرزی متقارن



شکل 13 جابجايی بيشينهٔ مرکز ورق برای شرایط مرزی نامتقارن



شکل 9 سرعت مرکز ورق بر حسب زمان برای شرط مرزی کامل‌گيردار (CCCC) به ازاي نسبت بارگذاري مختلف

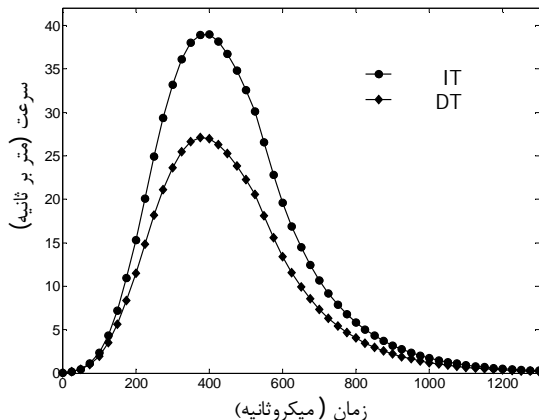


شکل 10 سرعت بيشينهٔ خط ميانی ورق برای شرط مرزی کامل‌گيردار (CCCC) به ازاي نسبت بارگذاري مختلف

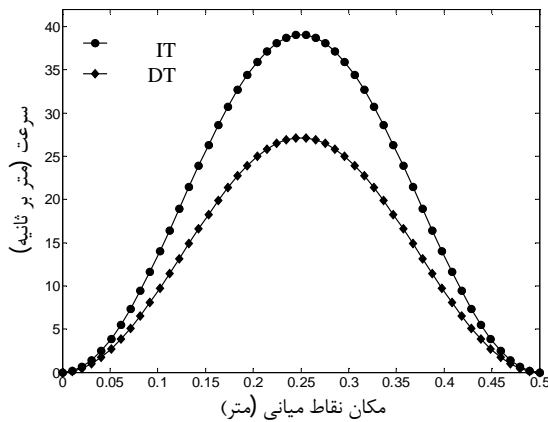
يکی از عوامل مهم تأثيرگذار بر پاسخ ديناميکي ورق ويسکوپلاستيك نوع شرایط مرزی حاكم بر لبه های ورق مستطيلي می باشد. اين شرایط مرزی را می توان به دسته شرایط مرزی متقارن شامل شرایط مرزی SSSS و CCSS و شرایط مرزی نامتقارن شامل شرایط مرزی CSCS و CSCS تقسيم‌بندی نمود. پاسخ ديناميکي ورق برای شرایط مرزی متقارن در بارگذاري تکمحوره در شکل های 11 و 12 نشان داده شده است.

با توجه به اين دو نمودار به علت وجود شرایط متقارن بيشينهٔ جابجايی و سرعت در مرکز ورق صورت گرفته است. مقادير دامنهٔ بار اعمالي برای سه شرط مرزی متقارن SSSS، CCSS و CCCC به ترتيب برابر $P_x = 325$ MPa، $P_x = 600$ MPa و $P_x = 580$ MPa می باشد. در بارگذاري يكسان با توجه به بالاتر بودن مقاومت ورق در برابر تغيير شكل با شرط مرزی گيردار، ورق با شرایط CCSS و SSSS به ترتيب بيشترین جابجايی و سرعت را خواهد داشت. جابجايی و سرعت بيشينهٔ مرکز ورق برای شرایط مرزی نامتقارن در بارگذاري تکمحوره در شکل های 13 و 14 نشان داده شده است. با توجه به اين دو نمودار به علت وجود شرایط نامتقارن، بيشينهٔ جابجايی و سرعت در نقاط نزديک به تکيه گاه ساده به علت مقاومت كمتر در برابر تغيير شكل رخمي دهد.

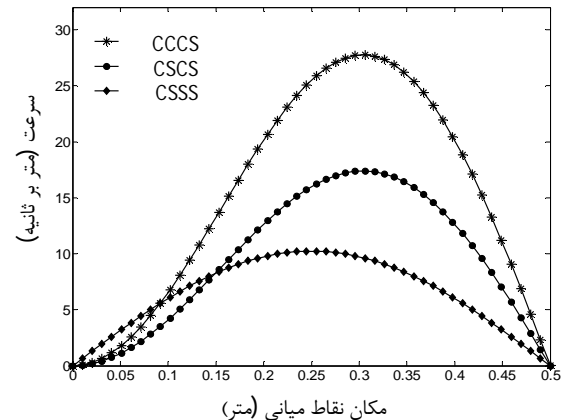
مقادير دامنهٔ بار اعمالي برای سه شرط مرزی نامتقارن CCSS و CSCS به ترتيب برابر $P_x = 480$ MPa، $P_x = 450$ MPa و $P_x = 580$ MPa می باشد. با توجه به پاسخ ديناميکي ارائه شده برای شرایط مرزی متقارن و



شکل 17 مقایسه تئوري های تغيير شكل و نموي پلاستيسينه سرعت مرکز ورق
برحسب زمان با شرط مرزی کاملاً گيردار (CCCC)

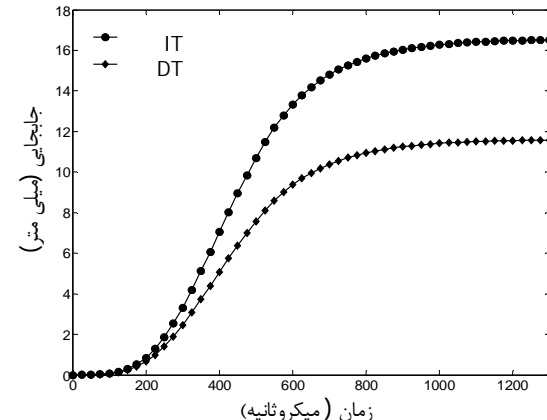


شکل 18 مقایسه تئوري های تغيير شكل و نموي پلاستيسينه برای سرعت بيشينه
مرکز ورق با شرط مرزی کاملاً گيردار (CCCC)

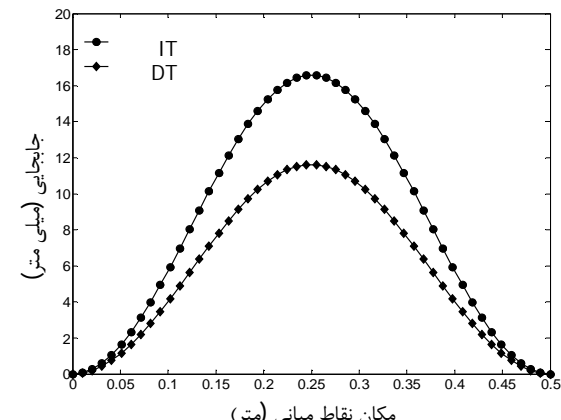


شکل 14 سرعت بيشينه مرکز ورق برای شرايط مرزی نامتقارن

دو تئوري استفاده شده برای استخراج معادلات ميداني تنش و كرنش شامل تئوري تغيير شكل و تئوري نموي پلاستيسينه مي باشند. براساس نتائج ارائه شده در مرجع [16] در حالت استاتيکي برای محاسبه بار بحراني کمانش، تئوري تغيير شكل نسبت به تئوري نموي تخمين پايان تري پيش-بييني مي کند. اين تخمين پايان تر با داده هاي تجربى تطابق بيشتری دارد [16] با توجه به پاسخ ديناميكي نشان داده شده برای ورق با شرايط مرزی کاملاً گيردار در شکل های 15 تا 18 در حالت بارگذاري ديناميكي تئوري تغيير شكل نسبت به تئوري نموي پاسخ پايان تري را ارائه مي دهد.



شکل 15 مقایسه تئوري های تغيير شكل و نموي پلاستيسينه برای جابجايی مرکز ورق
برحسب زمان با شرط مرزی کاملاً گيردار (CCCC)



شکل 16 مقایسه تئوري های تغيير شكل و نموي پلاستيسينه برای جابجايی بيشينه
مرکز ورق با شرط مرزی کاملاً گيردار (CCCC)

- [8] K. Ramajeyathilagam, C.P. Vendhan, R.V. Bhujanga, Nonlinear transient dynamic response of rectangular plates under shock loading, *International Journal of Impact Engineering*, Vol. 24, No. 10, pp. 999-1015, 2001.
- [9] K. Ramajeyathilagam, C.P. Vendhan, R.V. Bhujanga, Experimental and numerical investigations of deformation of cylindrical shell and panels to underwater explosion, *Journal of Shock Vibration*, Vol. 8, No. 8, pp. 253-270, 2001.
- [10] K. Ramajeyathilagam, C.P. Vendhan, R.V. Bhujanga, Deformation and rupture of thin rectangular plates subjected to underwater shock, *International Journal of Impact Engineering*, Vol. 30, No. 6, pp. 699-719, 2004.
- [11] D. Durban, Z. Zuckerman, Elastic plastic buckling of rectangular plates in biaxial compression tension, *International Journal of Mechanical Sciences*, Vol. 41, No. 7, pp. 751-765, 1999.
- [12] C.M. Wang, Y. Xiang, J. Chakrabarty, Elasticplastic buckling of thick plates, *International Journal of Solids and Structures*, Vol. 38, No. 48, pp. 8617-8640, 2004.
- [13] C. Wang, T.M. Aung, Plastic buckling analysis of thick plates using P-Ritz method, *International Journal of Solids and Structures*, Vol. 44, pp. 6239-6255, 2007.
- [14] X. Wang, J. Huang, Elastoplastic buckling analyses of rectangular plates under biaxial loadings by the DQM, *Thin-Walled Structures*, Vol. 47, No. 18, pp. 14-20, 2009.
- [15] M. Maarefdoust, M. Kadkhodayan, Elastoplastic buckling analysis of plates involving free edges by deformation theory of plasticity, *International Journal of Engineering*, Vol. 26, No. 4, pp. 421-432, 2013.
- [16] M. Kadkhodayan, M. Maarefdoust, Elastic plastic buckling of isotropic thin plates subjected to uniform and linearly varying inplane loading using incremental and deformation theories, *Aerospace Science and Technology*, Vol. 32, No. 1, pp. 66-83, 2013.
- [17] M. Maarefdoust, M. Kadkhodayan, A comparison between the incremental and deformation theories to analyze elastoplastic buckling of thin rectangular plates by GDQ method, *Modares Mechanical Engineering*, Vol. 12, No. 3, pp. 11-26, 2011. (In Persian)

اساس این مشاهدات برای شرایط مرزی متقاضی شامل SSSS و CCCC باشند. شرایط جابجایی و سرعت ورق نسبت به نقطه میانی ورق متقاضی بوده و برای شرایط مرزی نامتقاضی شامل CCCC و CSCS، CSSS و بیشینه جابجایی و سرعت ورق به سمت تکیه گاه با شرط مرزی ساده تامیل دارد. همچنین در بارگذاری یکسان با توجه به بالاتر بودن مقاومت ورق در برابر تغییر شکل با شرط مرزی گیردار، ورق با شرایط مرزی SSSS و CCCC به بیشترین جابجایی و سرعت ورقی بزرگتر است. برای شرایط مرزی نامتقاضی در بارگذاری یکسان CSCS و CSSS و بیشینه بزرگتر است. ترتیب بیشترین جابجایی و سرعت را خواهد داشت.

7 - مراجع

- [1] T. Wierzbicki, A.L. Florence, A theoretical and experimental investigation of impulsively loaded clamped circular viscoplastic plates, *International journal of Solids Struct*, Vol. 6, No. 5, pp. 55-580, 1970.
- [2] R.C. Batra, R.N. Dubey, Impulsively loaded circular plates, *International journal Solids Struct*, Vol. 7, pp. 965-978, 1971.
- [3] H. Lippman, Kinetics of the axisymmetric rigid-plastic membrane supplied to initial impact, *International Journal of Mechanic science*, Vol. 16, No. 8, pp. 297-303, 1974.
- [4] N. Perrone, P. Bhadra, Simplified large deflection mode solutions for impulsively loaded viscoplastic circular membranes, *Journal of Applied Mechanics*, Vol. 51, No. 8, pp. 505-509, 1984.
- [5] G.N. Nurick, J.B. Martin, Deformation of thin plates subjected to impulsive loading a review part I, *International Journal of Impact Engineering*, Vol. 8, No. 2, pp. 159-170, 1989.
- [6] H. Gharababaei, A. Darvizeh, Experimental and analytical investigation of large deformation of thin circular plates subjected to localized and uniform loading, *Mechanics based design of structures and machines*, Vol. 38, No. 2, pp. 171-189, 2010.
- [7] H. Gharababaei, A. Darvizeh, M. Darvizeh, Analytical and experimental studies for deformation of circular plates subjected to blast loading, *Journal of mechanical Science and Technology*, Vol. 24, No. 9, pp. 1855-1864, 2010.